



## شیمی کائی و تعیین دما، فشار و فعالیت سیال‌ها در میگماتیت‌های بروجرد با استفاده از کائی کردیریت

معصومه زارع شولی<sup>۱</sup>، زهرا طهماسبی<sup>\*۱</sup>، عادل ساکی<sup>۲</sup>، احمد احمدی خلجمی<sup>۱</sup>

۱- گروه زمین شناسی، دانشکده علوم پایه، دانشگاه لرستان

۲- گروه زمین شناسی، دانشکده علوم زمین، دانشگاه شهید چمران اهواز

(دریافت مقاله: ۹۶/۱۱/۲۸، نسخه نهایی: ۹۷/۴/۱۳)

**چکیده:** نفوذ مجموعه گرانیتوئیدی بروجرد در سنگ‌های رسی دگرگون شده سبب ایجاد هورنفلس‌های رسی و میگماتیت‌های پاره گدازشی در هاله دگرگونی خود شده است. واکنش‌های موثر در تشکیل مذاب شامل واکنش‌های ذوب در حضور سیال آزاد و واکنش‌های ذوب بدون حضور سیال آزاد هستند. واکنش‌های ذوب در حضور فاز سیال احتمالاً با شروع ذوب، همه سیال آزاد در هاله را مصرف کرده‌اند و در نتیجه ادامه ذوب بخشی توسط واکنش‌های ذوب بدون حضور فاز سیال آزاد انجام شده است. به احتمال زیاد مجموعه کائی‌های درجه‌های بالا مانند اسپینل-کرونند در هاله در اثر واکنش آبزدایی بیوتیت تشکیل شده‌اند. بنابراین وجود کائی‌های اسپینل و کرونند در این سنگ‌ها با فرآیند ذوب بخشی بدون سیال آزاد ارتباط دارد. براساس تعادل ترمودینامیکی کائی‌ها و واکنش‌های تعادلی چندگانه، دما و فشار اوج دگرگونی در میگماتیت‌ها به ترتیب ۷۵۰ درجه سانتی‌گراد و ۴ کیلوبار برآورد شده است فعالیت کل سیال‌ها در کردیریت موجود در ملانوسوم میگماتیت‌ها ( $a\text{CO}_2 + a\text{H}_2\text{O} = 0.15 + 0.06\text{D}_{\text{w}}$ ) در دما و فشار بیان شده تعیین شد. مقدار آب در مذاب میگماتیت‌های بروجرد ۳/۷۵ درصد و در کردیریت موجود در ملانوسوم میگماتیت‌ها ۱/۱ درصد بوده که با توجه به این مقادیر، توزیع آب بین مذاب گرانیتی و کردیریت  $\text{D}_{\text{w}}$  مربوط به واکنش‌های ذوب در دمای ۷۵۰ درجه سانتی‌گراد برای میگماتیت‌های بروجرد ۳/۴۱ درصد است که همخوان با واکنش‌های ذوب آبزدایی بیوتیت است. مقدار  $\text{H}_2\text{O}$  نمونه‌های گدازشی بر خط کمینه آب قرار گرفته‌اند که بیانگر حالت بدون سیال آزاد است و درستی نتایج سنگنگاری، واکنش‌های ذوب بدون سیال آزاد و  $\text{D}_{\text{w}}$  محاسبه شده در میگماتیت‌ها را تأیید می‌کند.

**واژه‌های کلیدی:** کردیریت؛ فعالیت سیال‌ها؛ میگماتیت؛ بروجرد؛ پنهان سنتندچ-سیرجان.

اولیه در بیشتر سنگ‌های دگرگونی وجود دارند، زیرا بیشتر واکنش‌های پیش‌رونده سبب آزاد شدن سیال‌هایی می‌شوند که می‌تواند از محل انجام واکنش‌ها جا به جا شوند [۱]. دگرگونی پیش‌رونده در سنگ‌های رسی دگرگون شده سبب شکستن کائی‌های آبدار، انجام واکنش آبزدایی و ایجاد سیال غنی از آب می‌شود [۲]. تعیین شرایط فیزیکو شیمیایی رخ داده در پوسته عمیق نیازمند بررسی اصول شکل گیری دگرگونی‌های درجه‌های بالا از جمله میگماتیت‌هاست بطوری که افزون بر بررسی

**مقدمه**  
سیال‌ها و مذاب نقش کلیدی در شکل گیری و تکامل سنگ‌ها و مجموعه کائی‌ها در دگرگونی‌های درجه‌های بالا دارند. سیال‌هایی که در سرزمین‌های دگرگونی وجود دارند را می‌توان به دو دسته تقسیم کرد: ۱- سیال‌های دگرگونی برآمده از فرآیندهای دگرگونی و ۲- سیال‌های با خاستگاه خارجی که طی دگرگونی بر سنگ‌ها اثر می‌گذارند و اغلب باعث تغییر ترکیب سنگ دگرگونی می‌شوند. سیال‌ها معمولاً به صورت

کیلوبار برآورده‌اند. در این پژوهش، شرایط دما و فشار و فعالیت سیال‌ها در میگماتیت‌های بروجرد با استفاده از شیمی کانی‌ها بویژه کردیریت بررسی می‌شود.

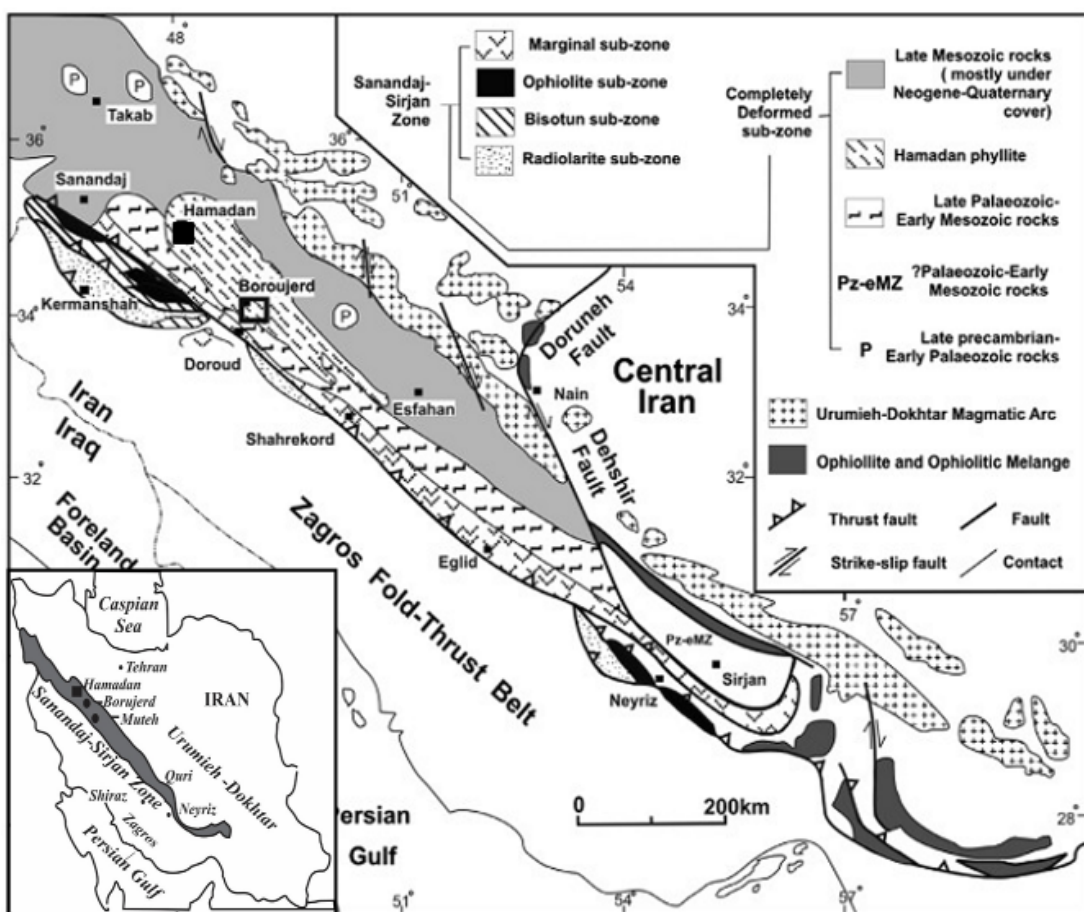
#### زمین‌شناسی منطقه

منطقه مورد بررسی در شرق و جنوب‌شرق بروجرد، بعنوان بخشی از نوار دگرگونی پهنه سندج - سیرجان محسوب می‌شود [۱۲] (شکل ۱). از نظر برخی پژوهشگران [۱۳، ۱۴] منطقه مورد بررسی در زیرپهنه دگرگشکلی پیچیده شامل سنگ‌های آذرین و دگرگونی قرار دارد (شکل ۲). قدیمی‌ترین نهشته‌های آن مربوط به تریاس هستند که در جنوب‌شرق بروجرد رخنمون دارند و شامل سنگ‌های آتش‌فشاری دگرگونه با درون لایه‌هایی از مرمر نازک تا ضخیم لایه هستند [۱۵]. مهمترین رخداد زمین‌شناختی این ناحیه، پیدایش توده گرانیتوئیدی بروجرد به سن ژوراسیک‌میانی است [۱۶]. با نفوذ توده گرانیتوئیدی به درون سنگ‌های دگرگونی ناحیه‌ای پیشین (که بالاترین بخش از این دگرگونی‌ها را سنگ‌های رسی دگرگون شده موسوم به فیلیت‌های همدان تشکیل می‌دهند) یک مجموعه دگرگونی دما-بالا و فشار-پایین ایجاد شده است. سنگ‌های دگرگونی مجاورتی شامل شیسته‌های لکه‌دار، انواع هورنفلس‌ها و میگماتیت‌ها هستند. دگرگونی مجاورتی در بخش جنوبی توده به دلیل گسله بودن ناقص دیده می‌شود یا دیده نمی‌شود [۱۷، ۱۶] و نوار باریکی از شیسته‌های کردیریت‌دار که با اسلیت و پهنه‌های کلریت و بیوتیت به پایان می‌رسد وجود دارد، اما در بخش شمالی توده، میگماتیت و هورنفلس‌ها و پهنه سیلیمانیت - پتاسیم فلدسپار دیده می‌شود [۱۰، ۱۶] و با توجه به همبrijی کانی‌ها، دمای ۶۰۰ تا ۶۵۰ درجه سانتی گراد و فشار کمتر از ۴ کیلوبار برای دگرگونی مجاورتی برآورده می‌شود.

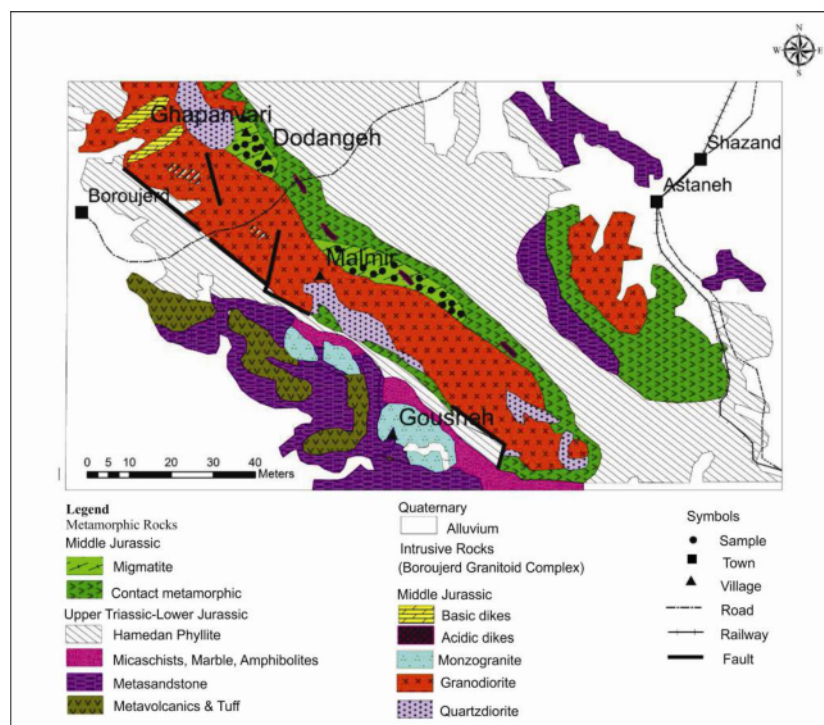
#### بررسی‌های صحرایی و سنگ‌نگاری

سنگ‌های دگرگونی موجود در منطقه شامل سنگ‌های ناحیه‌ای درجه‌های پایین و سنگ‌های مجاورتی درجه‌های پایین تا بالا هستند. مرز بین این دو نوع دگرگونی با توجه به شواهد بافتی و تغییرات کانی شناسی مشخص می‌شود.

های دما-فشار سنجی در این مناطق، ترکیب سیال‌های شرکت کننده در این فرآیندها نیز باید در نظر گرفته شود [۳]. از سیال‌های  $\text{CO}_2$  و  $\text{H}_2\text{O}$  موجود در شبکه کردیریت برای تعیین مقدار سیال‌های ( $\text{CO}_2$ ,  $\text{H}_2\text{O}$ ) در مذاب استفاده می‌شود [۸-۴] همچنین با استفاده از فعالیت سیال‌های  $\text{CO}_2$  و  $\text{H}_2\text{O}$  در کردیریت‌ها می‌توان شرایط ذوب بدون حضور سیال آزاد و ذوب با حضور سیال آزاد را تعیین کرد. سطوح اشباع سیال‌های  $\text{CO}_2$  و  $\text{H}_2\text{O}$  کردیریت‌ها که بتازگی از بررسی‌های تجربی بدست آمده‌اند برای تعیین شرایط P-T مربوط به دگرگونی‌های درجه‌های بالا و ارزیابی شرایط سیال‌های شرکت کننده در شکل‌گیری مذاب‌های بخشی و گرانولیت‌ها استفاده شده است [۳]. سطوح اشباع و ایزوپلیت‌های اشباع از  $\text{CO}_2$  و  $\text{H}_2\text{O}$  در کردیریت‌ها وابسته به فشار هستند. در مقابل، جذب  $\text{O}_2$  توسط کردیریت‌هایی که در تعادل با مذاب‌های تشکیل شده از طریق ذوب آبزدایی بیوتیت هستند، توسط توزیع آب میان مذاب گرانیتی و کردیریت ( $D_w$ ) کنترل می‌شود. توزیع آب میان مذاب و کردیریت به طور عمدۀ وابسته به دماست. برای نوعی از کردیریت‌های با مقدار آب  $0.4/1.6$  که طی واکنش آبزدایی بیوتیت در فشار ۳ تا ۷ کیلوبار و دمای  $900-750$  درجه سانتی گراد شکل گرفته‌اند، مقدار  $D_w$  برابر با  $2/5-6$  درصد است. این گستره  $D_w$  باعث یک کاهش  $15-30$  درصدی در کل مذاب‌های تولید شده از سنگ‌های رسی می‌شود. کردیریت در گرانیت‌ها غنی از  $\text{H}_2\text{O}$  است ( $1.9-1.3$  درصد وزنی)، در حالی که مقادیر پایین آب ( $0.6-1.2$  درصد وزنی) در کردیریت‌های حفظ شده در بسیاری از گرانولیت‌ها و دگرگونی‌های درجه‌های بالا (میگماتیت‌ها) بیانگر شرایط ذوب بدون سیال طی ذوب بخشی است [۳]. مجموعه آذرین و دگرگونی بروجرد اولین بار توسط برتبه و همکاران [۹] بررسی شد. آنها با اشاره به تشکیل میگماتیت در منطقه، کانی درجه بالای کرونندم را در سنگ‌های دگرگونی مجاورتی تشخیص دادند. بر اساس منحنی‌های تعادل چند گانه، اوج دمای دگرگونی در هاله بروجرد  $642$  درجه سانتی گراد برآورد شده است [۱۰]. همچنین برخی پژوهشگران [۱۱] دما و فشار اوج دگرگونی را  $662$  درجه سانتی گراد و  $3/3$



شکل ۱ جایگاه منطقه مورد بررسی در نقشه زمین‌شناسی ایران و جایگاه زمین‌ساختی پهنه‌ها در غرب ایران [۱۴].



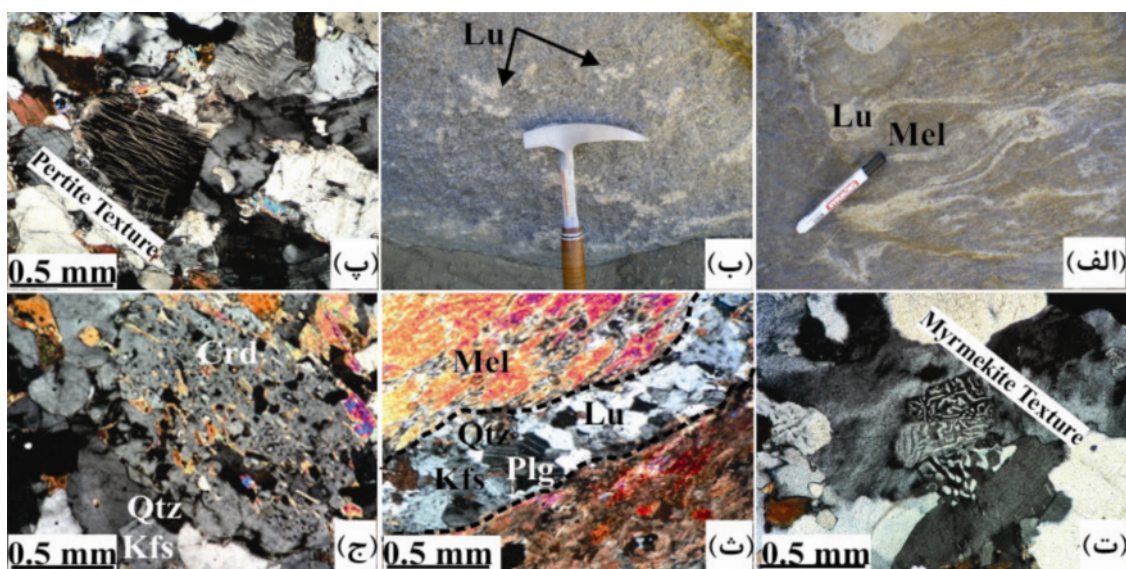
شکل ۲ نقشه زمین‌شناسی منطقه مورد بررسی برگرفته از مرجع [۱۶] که محل نمونه‌ها بر آن نشان داده شده است.

کرد:

لوکوسومها بیشتر به صورت رگهای و به ندرت به صورت لکه‌ای هستند. با توجه به اینکه رگهای رگهای به صورت گسسته تشکیل شده‌اند (شکل‌های ۳ الف و ب) می‌توان گفت که این رگهای با توده‌های آذرین ارتباطی ندارند. همچنین با توجه به ویژگی ساختی لوکوسومها، امکان تشکیل آنها از خاستگاه جدایش دگرگونی در حالت جامد وجود ندارد، زیرا لوکوسوم‌ها و ملانوسوم‌ها به صورت متناوب و متوالی دیده نمی‌شوند.

بافت لوکوسومها آذرین دانه‌درشت بوده، ولی بافت ملانوسومها دانه‌شکفتی هورنفلسی دانه‌ریز تا دانه‌متوسط است؛ به عبارت دیگر، بافت لوکوسومها با تبلور از مذاب همخوانی دارد. همچنین شکل و اندازه دانه‌ها در لوکوسوم‌ها و ملانوسومها متفاوت است. در لوکوسومها، پتاسیم فلدسپار شکل‌دار تا نیمه شکل‌دار بوده و کوارتز به صورت بی‌شکل با بافت بین بلوری فضای بین پتاسیم فلدسپار را پر کرده است در صورتی که در ملانوسومها پتاسیم فلدسپار به صورت بی‌شکل و کوارتز به صورت دانه‌ای است. در لوکوسوم‌ها خاموشی پیوسته دانه‌های کوارتز بی‌شکل تبلور آن از مذاب در مراحل نهایی تبلور را نشان می‌دهد. همچنین لوکوسوم‌ها بافت پرتیتی و میرمیکیت (شکل‌های ۳ پ و ت) را نشان می‌دهند.

سنگ‌های دگرگونی ناحیه‌ای شامل اسلیت و فیلیت‌ها هستند که با توجه به همبrijی کانی‌ها، این سنگ‌ها در حد رخساره شیست سیز دگرگون شده‌اند.<sup>[۱۸]</sup> با نفوذ توده گرانیتوئیدی بروجرد در سنگ‌های دگرگونی ناحیه‌ای، یک مجموعه دگرگونی دمای بالا – فشار پایین ایجاد شده است. دگرگونی مجاورتی با شیستهای لکه‌دار شروع می‌شود و با هورنفلس‌ها و میگماتیت‌ها به پایان می‌رسد. میگماتیت‌های بروجرد در همبrijی هورنفلس‌های رسی با توده نفوذی (مجموعه گرانیتوئیدی بروجرد) در بخش شمالی هاله دگرگونی دیده می‌شوند. وسعت هاله‌ای که دستخوش ذوب بخشی و میگماتیتی شدن گردیده حدود ۱۵۰ متر است. این میگماتیت‌ها دارای بخش‌های روشن (لوکوسوم‌ها) و تیره کانی‌های درشت پتاسیم فلدسپار و کوارتز بی‌شکل به صورت بین دانه‌ای تشکیل شده‌اند. ملانوسوم‌ها بافت دانه شکفتی هورنفلسی دارند و شامل کانی‌های آندالوزیت، سیلیمانیت، اسپینل، کروندم، کردیریت، گارنت و بیوتیت هستند. لوکوسوم‌ها در هاله دگرگونی بروجرد در اثر ذوب بخشی سنگ‌های رسی تشکیل شده‌اند. از جمله شواهدی که نشان دهنده ذوب بخشی این سنگ‌هاست می‌توان به موارد زیر اشاره



شکل ۳ الف و ب) شواهد ماکروسکوپی ذوب بخشی در تصاویر ماکروسکوپی از میگماتیت‌های منطقه Lu: لوکوسوم، Mel: ملانوسوم، پ) بافت پرتیت در بخش لوکوسوم (در نور xpl)، ت) بافت میرمیکیت در بخش لوکوسوم (در نور xpl)، ث) لوکوسوم‌هایی که فضای بین پتاسیم فلدسپارهای شکل‌دار آن توسط کوارتز پر شده است (در نور xpl) و ج) نمونه‌ای از لوکوسوم‌های دارای کردیریت که کوارتز فضای بین کردیریت و پتاسیم فلدسپار را پر کرده است (در نور xpl).

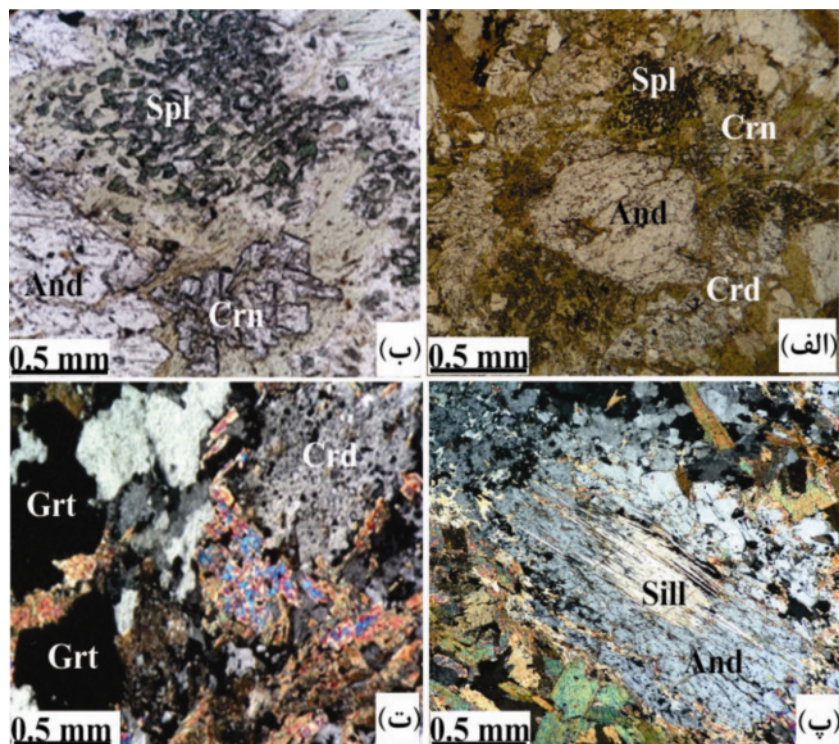
بی‌شکل فضای بین پتاسیم فلدسپار را پرکرده است (شکل ۳ ث)، ۲- لوکوسوم‌های دارای کوارتز + پتاسیم فلدسپار + بیوتیت ± مسکوویت که پتاسیم فلدسپار در آنها شکل‌دار بوده و کوارتز بی‌شکل با بافت بین بلوری فواصل بین کانی‌ها را پرکرده است و بیوتیتها نیز به صورت ریز و شکل‌دار هستند و پتاسیم فلدسپار مقداری به مسکوویت دگرسان شده است، ۳- لوکوسوم‌های دارای کوارتز + پتاسیم فلدسپار + کردیریت که پتاسیم فلدسپار در آنها به صورت شکل‌دار و بلورهای کردیریت تقریباً درشت و بدون میانبار دیده می‌شود و کوارتز فضای بین کردیریت و پتاسیم فلدسپار را بصورت بین دانه‌ای پر کرده است (شکل ۳ ج).

سنگ نگاری سنگ‌هایی که دستخوش ذوب بخشی شده‌اند ۱- سنگ‌های دارای کانی‌های کوارتز، پلاژیوکلاز، پتاسیم فلدسپار، آندالوزیت، سیلیمانیت، بیوتیت، کردیریت، اسپینل و کرونندم هستند. در بخش ملانوسوم این دسته از سنگ‌ها لبه‌ای از هم رشدی اسپینل، کرونندم و کردیریت اطراف آندالوزیت شکل گرفته است (شکل‌های ۴ الف و ب). همچنین در این سنگ‌ها در بخش ملانوسوم، آندالوزیت از لبه داخلی گاهی به سیلیمانیت تبدیل می‌شود (شکل ۴ ب).

عمده‌ترین کانی‌های تشکیل دهنده لوکوسوم‌ها کوارتز و پتاسیم فلدسپار هستند و کانی‌های آهن و منیزیم‌دار مانند بیوتیت و کردیریت یا وجود ندارند یا به مقدار بسیار کم دیده می‌شوند. در لوکوسوم‌ها، بیوتیتها نیمه شکل‌دار و درشت به همرا کوارتز و پتاسیم فلدسپار تشکیل شده‌اند و بر اساس نتایج سنگ‌نگاری بلورهای کوچک مسکوویت در لوکوسوم‌ها احتمالاً از دگرگونی پس‌رونده بیوتیتها تشکیل شده‌اند. بررسی‌های تجربی نشان داده است که ترکیب شیمیایی مذاب‌های حاصل از ذوب ناقص سنگ‌های رسی، معمولاً گرانیتی است [۱۹-۲۴]. نتایج سنگ نگاری لوکوسوم‌ها در هاله بروجرد نشان می‌دهد که ترکیب سنگ شناسی آنها به احتمال زیاد مشابه با گرانیت‌های روشن و گرانیت‌های برآمده از ذوب بخشی است و با خاستگاه تیلوور از مذاب همچوانی دارد.

#### سنگ شناسی لوکوسوم‌ها در هاله بروجرد

سنگ‌های رسی در دگرگونی‌های درجه‌های بالا و در نزدیکی همبrij به علت گرمای برآمده از توده به طور بخشی ذوب شده‌اند. بر اساس ترکیب کانی‌شناسی قسمت‌های ذوب شده، لوکوسوم‌های هاله بروجرد به سه گروه تقسیم شده‌اند: ۱- لوکوسوم‌های دارای کوارتز - پتاسیم فلدسپار دارای پتاسیم فلدسپار به صورت شکل‌دار و نیمه شکل‌دار هستند و کوارتز



شکل ۴ تصاویر میکروسکوپی از میگماتیت‌های منطقه: الف و ب) سنگ‌های دارای هم رشدی کردیریت و اسپینل و کرنندوم اطراف آندالوزیت (در نور ppl، پ) تبدیل آندالوزیت به سیلیمانیت (در نور apl) و ت) سنگ‌های دارای کردیریت همراه با گارنت (در نور xpl).

علاوه بر موارد بالا، افزایش دما نیز می‌تواند در تشکیل مذاب دخیل باشد. با توجه به سنگ‌های مافیک در منطقه، به نظر می‌رسد که افزایش دما به علت نفوذ بخش‌های مافیک باشد. دسته دوم سنگ‌ها دارای پهنه‌های کانی‌شناسی کردیریت-گارنت-پتاسیم فلدسپار و کردیریت-پتاسیم فلدسپار هستند. این مجموعه در اثر واکنش‌های ۳ و ۴ تشکیل می‌شوند.

### روش انجام پژوهش

پس از بررسی‌های صحرایی و سنگنگاری، به منظور شناسایی ترکیب کانی‌ها و تعیین شرایط دما و فشار، نقاطی از کانی‌های مختلف به روش ریزپردازش الکترونی به وسیله دستگاه CAMECA مدل SX 100 در موسسه تحقیقاتی علوم زمین دانشگاه چین تجزیه شدند. ولتاژ شتاب باریکه الکترونی استفاده شده برابر با ۱۵ kv و زمان تجزیه برای هر نقطه ۴۰ ثانیه بوده است. برای تجزیه نمونه از جریانی به شدت ۳ nA استفاده شد. داده‌های تجزیه ریزپردازشی معرف هر کانی در جدول‌های ۱ تا ۷ آورده شده است.

### شیمی کانی

ترکیب عناصر اصلی کانی‌های بیوتیت، فلدسپار قلیایی، پلازیوکلاز، گارنت، اسپینل و کرونوند در نمونه‌های انتخاب شده از بخش ملانوسوم میگماتیتها به روش ریزپردازشی الکترونی تعیین شد. پیش از محاسبه دما و فشار به بررسی ترکیب شیمیایی کانی‌ها می‌برداریم:

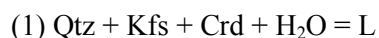
**فلدسپار قلیایی:** نتایج تجزیه شیمیایی فلدسپارها در جدول ۱ آورده شده است. تعداد کاتیون‌ها براساس ۸ اتم اکسیژن محاسبه شده است. در میگماتیتها بروجرد، مقادیر  $X_K$  فلدسپارها بین ۰/۸۶ تا ۰/۹۰ متغیر است. ترکیب فلدسپارهای میگماتیتها بروجرد غنی از پتاسیم و از نوع ارتوکلاز است (شکل ۵).

**پلازیوکلازها:** نتایج تجزیه شیمیایی پلازیوکلازها در جدول ۲ آورده شده‌اند. ترکیب شیمیایی پلازیوکلازها در نمودارهای سه تایی [۲۶] An.Or.Ab نشان داده شده است (شکل ۵ الف). براساس این نمودار، ترکیب پلازیوکلاز میگماتیتها بروجرد در گستره الیگوکلاز قرار دارد.

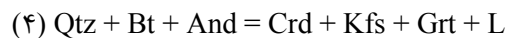
- سنگ‌های دارای کانی پتاسیم فلدسپار، کردیریت، پلازیوکلاز، گارنت، بیوتیت و کوارتز است. در زمینه این سنگ‌ها هیچ گونه سیلیکات آلومینیوم (سیلیمانیت) دیده نمی‌شود و کردیریت‌ها دارای میانبار فیروزیت هستند. در بخش لوکوسوم این سنگ‌ها، کوارتز بی شکل فضای بین پتاسیم فلدسپار شکل دار تا نیمه شکل دار را پر کرده و دارای بافت میرمیکیت است. گارنت به صورت درشت بلور و نیمه شکل دار با مجموعه کانی‌های پتاسیم فلدسپار، کردیریت، بیوتیت و کوارتز وجود دارد (شکل ۴ ت).

### واکنش‌های ذوب در سنگ‌های رسی دگرگون شده هاله بروجرد

بر اساس مجموعه کانی‌ای سنگ‌های دگرگونی رسی منطقه بروجرد که دستخوش ذوب‌بخشی شده‌اند، می‌توان پهنه‌های کانی‌شناسی گارنت - کردیریت - پتاسیم فلدسپار، کردیریت - پتاسیم فلدسپار و اسپینل-کرونوند را برای سنگ‌های این منطقه در نظر گرفت. با توجه به مجموعه کانی‌شناسی لوکوسوم ها واکنش‌های احتمالی ذوب با حضور سیال آزاد در منطقه به صورت زیر است [۲۵]:



و واکنش‌های ذوب بدون حضور سیال آزاد می‌توانند به صورت زیر باشند [۲۵]:



علائم اختصاری استفاده شده برای کانی‌ها برگرفته از مرجع [۲۶] است.

واکنش‌های ذوب بدون حضور سیال آزاد نشان می‌دهد که سنگ‌ها در دمای بالا تشکیل شده‌اند. کانی‌شناسی دسته اول سنگ‌ها نشان می‌دهد که سنگ در پهنه اسپینل-کرونوند قرار دارد. با توجه به حضور آندالوزیت در این دسته از سنگ‌ها و واکنش (۵) می‌توان نتیجه گرفت که عامل ذوب‌بخشی آب منفذی و آب آزاد شده از شکست کانی‌های آبدار و مصرف شدن آندالوزیت به مقدار کم است. با توجه به هم رشدی اسپینل و کرونوند پیرامون آلومینوسیلیکات، می‌توان گفت که

**جدول ۲** داده‌های معرف کانی پلاژیوکلاز. تعداد کاتیون‌ها بر اساس اتم اکسیژن محاسبه شده است.

نمونه	MIB-3	MIB-3	MIB-3	MIB-3	MIB-3	MIB-2	MIB-2	MIB-2	MIB-2	MIB-2	MIB-2
SiO <sub>2</sub>	۵۸,۶۱	۵۸,۵۶	۵۸,۲۶	۵۸,۲۸	۵۷,۵۵	۶۰,۱۶	۵۷,۹۰	۵۹,۹۳	۶۰,۶۳	۵۹,۹۶	
TiO <sub>2</sub>	۰,۰۰	۰,۰۰	۰,۰۰	۰,۰۰	۰,۰۲	۰,۱۲	۰,۱۲	۰,۱۴	۰,۱۰	۰,۱۳	
Al <sub>2</sub> O <sub>3</sub>	۲۵,۰	۲۵,۶	۲۵,۳۷	۲۵,۵۷	۲۶,۷	۲۴,۱۹	۲۴,۱۵	۲۴,۱۱	۲۴,۴۹	۲۲,۷۵	
FeO	۰,۰۰	۰,۰۰	۰,۰۰	۰,۰۰	۰,۰۱	۰,۱۴	۰,۱۴	۰,۱۵	۰,۱۵	۰,۱۵	
MnO	۰,۰۰	۰,۰۰	۰,۰۰	۰,۰۵	۰,۰۱	۰,۱۳	۰,۱۴	۰,۱۳	۰,۱۲	۰,۱۵	
MgO	۰,۰۱	۰,۰۲	۰,۰۰	۰,۰۱	۰,۰۷	۰,۰۸	۰,۰۷	۰,۰۷	۰,۰۷	۰,۰۷	
CaO	۸,۰۳	۸,۲۳	۷,۴۵	۸,۱۱	۸,۶۶	۵,۸۱	۵,۸۳	۵,۷۱	۵,۰۰	۵,۳۷	
Na <sub>2</sub> O	۶,۷۰	۶,۷۱	۷,۱۲	۶,۹۱	۶,۶۱	۸,۴۵	۸,۳۶	۸,۶۴	۹,۰۴	۸,۵۶	
K <sub>2</sub> O	۰,۰۵	۰,۰۵	۰,۰۶	۰,۰۴	۰,۰۶	۰,۱۵	۰,۱۳	۰,۱۴	۰,۱۴	۰,۱۵	
مجموع	۹۸,۴۰	۹۹,۱۷	۹۸,۲۶	۹۸,۹۶	۹۹,۰۰	۹۹,۲۲	۹۶,۸۵	۹۹,۰۲	۹۸,۷۴	۹۸,۳۹	
Si	۲,۶۶	۲,۶۴	۲,۶۴	۲,۶۳	۲,۶۰	۲,۷۰	۲,۶۷	۲,۷۰	۲,۷۳	۲,۷۷	
Ti	۰,۰۰	۰,۰۰	۰,۰۰	۰,۰۰	۰,۰۰	۰,۰۰	۰,۰۰	۰,۰۱	۰,۰۰	۰,۰۴	
Al	۱,۳۴	۱,۳۶	۱,۳۶	۱,۳۶	۱,۳۹	۱,۲۸	۱,۳۱	۱,۲۸	۱,۲۵	۱,۲۷	
Fe <sup>3+</sup>	۰,۰۰	۰,۰۰	۰,۰۰	۰,۰۰	۰,۰۱	۰,۰۱	۰,۰۱	۰,۰۱	۰,۰۱	۰,۰۱	
Fe <sup>2+</sup>	۰,۰۰	۰,۰۰	۰,۰۰	۰,۰۰	۰,۰۰	۰,۰۰	۰,۰۰	۰,۰۰	۰,۰۰	۰,۰۰	
Mn	۰,۰۰	۰,۰۰	۰,۰۰	۰,۰۰	۰,۰۱	۰,۰۱	۰,۰۱	۰,۰۱	۰,۰۱	۰,۰۱	
Mg	۰,۰۰	۰,۰۰	۰,۰۰	۰,۰۰	۰,۰۰	۰,۰۱	۰,۰۱	۰,۰۱	۰,۰۱	۰,۰۱	
Ca	۰,۳۹	۰,۴۰	۰,۳۶	۰,۳۹	۰,۴۲	۰,۲۸	۰,۲۹	۰,۲۸	۰,۲۴	۰,۲۶	
Na	۰,۵۹	۰,۵۹	۰,۶۳	۰,۶۱	۰,۵۸	۰,۷۴	۰,۷۵	۰,۷۵	۰,۷۹	۰,۷۵	
K	۰,۰۰	۰,۰۰	۰,۰۰	۰,۰۰	۰,۰۱	۰,۰۱	۰,۰۱	۰,۰۱	۰,۰۱	۰,۰۱	
مجموع	۴۹,۹۷	۴۹,۹۸	۴۹,۹۹	۴۹,۹۹	۴,۱۰	۵۰,۰۲	۵۰,۰۵	۵۰,۰۴	۵۰,۰۴	۵۰,۰۲	
X <sub>an</sub>	۰,۴۰	۰,۴۰	۰,۳۶	۰,۳۹	۰,۴۲	۰,۲۸	۰,۲۸	۰,۲۷	۰,۲۳	۰,۲۶	
X <sub>ab</sub>	۰,۶۰	۰,۶۰	۰,۶۴	۰,۶۱	۰,۵۸	۰,۷۳	۰,۷۲	۰,۷۳	۰,۷۷	۰,۷۴	
X <sub>Or</sub>	۰,۰۰	۰,۰۰	۰,۰۰	۰,۰۰	۰,۰۱	۰,۰۱	۰,۰۱	۰,۰۱	۰,۰۱	۰,۰۱	

**جدول ۱** داده‌های معرف کانی فلدسپار قلیایی. تعداد کاتیون‌ها بر اساس اتم اکسیژن محاسبه شده است.

نمونه	MIB-2	MIB-2	MIB-9	MIB-9	MIB-9	MIB-9
SiO <sub>2</sub>	۶۳,۲۴	۶۳,۴۵	۶۳,۸۸	۶۳,۴۴	۶۳,۱۷	۶۳,۶۲
TiO <sub>2</sub>	۰,۱۸	۰,۱۷	۰,۰۲	۰,۰۰	۰,۰۳	
Al <sub>2</sub> O <sub>3</sub>	۱۸,۶۲	۱۸,۶۰	۱۹,۳۲	۱۹,۴۰	۱۹,۴۷	۱۹,۵۸
FeO	۰,۲۰	۰,۱۹	۰,۰۴	۰,۰۶	۰,۰۲	۰,۰۴
MnO	۰,۱۰	۰,۱۱	۰,۰۳	۰,۰۲	۰,۰۰	
MgO	۰,۰۸	۰,۰۸	۰,۰۰	۰,۰۱	۰,۰۰	
CaO	۰,۱۸	۰,۱۶	۰,۰۰	۰,۰۰	۰,۰۰	
Na <sub>2</sub> O	۱,۱۵	۱,۳۹	۱,۳۹	۱,۱۱	۱,۵۱	۱,۱۵
K <sub>2</sub> O	۱۵,۲۵	۱۵,۱۷	۱۴,۷۲	۱۵,۰۲	۱۴,۵۴	۱۴,۸۸
مجموع	۹۹,۰۰	۹۹,۳۲	۹۹,۴۰	۹۹,۰۶	۹۸,۷۱	۹۹,۳۱
Si	۲,۹۶	۲,۹۶	۲,۹۶	۲,۹۵	۲,۹۵	۲,۹۵
Ti	۰,۰۱	۰,۰۱	۰,۰۰	۰,۰۰	۰,۰۰	
Al	۱,۰۳	۱,۰۲	۱,۰۶	۱,۰۶	۱,۰۷	۱,۰۷
Fe <sup>2+</sup>	۰,۰۱	۰,۰۱	۰,۰۰	۰,۰۰	۰,۰۰	
Mn	۰,۰۰	۰,۰۰	۰,۰۰	۰,۰۰	۰,۰۰	
Mg	۰,۰۱	۰,۰۱	۰,۰۰	۰,۰۰	۰,۰۰	
Ca	۰,۰۱	۰,۰۱	۰,۰۰	۰,۰۰	۰,۰۰	
Na	۰,۱۰	۰,۱۳	۰,۱۳	۰,۱۰	۰,۱۴	۰,۱۰
K	۰,۹۱	۰,۹۰	۰,۸۷	۰,۸۹	۰,۸۷	۰,۸۸
مجموع	۵۰,۰۳	۵۰,۰۴	۵۰,۰۱	۵۰,۰۱	۵۰,۰۲	۵۰,۰۱
X <sub>ab</sub>	۰,۱۰	۰,۱۲	۰,۱۳	۰,۱۰	۰,۱۴	۰,۱۰
X <sub>Or</sub>	۰,۱۹	۰,۸۷	۰,۸۷	۰,۹۰	۰,۸۶	۰,۹۰
X <sub>an</sub>	۰,۰۱	۰,۰۱	۰,۰۰	۰,۰۰	۰,۰۰	

**جدول ۳** داده‌های معرف کانی بیوتیت. تعداد کاتیون‌ها بر اساس اتم اکسیژن محاسبه شده است.

نمونه	MIB-3	MIB-3	MIB-3	MIB-3	MIB-3	MIB-3	MIB-2	MIB-2	MIB-2	MIB-2	MIB-2	MIB-2
SiO <sub>2</sub>	۳۳,۶۵	۳۳,۳۳	۳۳,۷۹	۳۲,۷۳	۳۳,۷۵	۳۵,۴۰	۳۳,۸۱	۳۸,۸۵	۳۴,۱۸	۳۴,۲۶	۳۳,۸۰	۳۳,۸۵
TiO <sub>2</sub>	۰,۸۶	۱,۱۳	۱,۰۷	۰,۶۱	۰,۷۲	۱,۲۶	۱,۵۲	۱,۴۱	۱,۳۳	۲,۸۵	۱,۴۰	۲,۷۵
Al <sub>2</sub> O <sub>3</sub>	۱۹,۱۱	۱۸,۸۹	۱۸,۹۶	۲۰,۰۷	۱۹,۱۷	۱۹,۰۹	۱۸,۵۷	۱۸,۹۵	۱۹,۱۸	۱۸,۵۵	۱۸,۹۱	۱۸,۱۹
FeO	۱۹,۲۹	۱۸,۸۳	۱۹,۳۱	۱۹,۴۵	۱۹,۵۲	۱۹,۶۰	۲۲,۱۷	۲۲,۹۳	۲۲,۹۴	۲۳,۵۷	۲۴,۰	۲۲,۱۳
MnO	۰,۰۷	۰,۰۶	۰,۰۶	۰,۰۴	۰,۰۵	۰,۰۶	۰,۳۳	۰,۳۹	۰,۳۹	۰,۲۶	۰,۴۰	۰,۲۵
MgO	۹,۸۹	۱۰,۲۷	۱۰,۰۱	۹,۷۲	۱۰,۰۱	۹,۸۶	۷,۶۷	۷,۳۷	۷,۶۲	۶,۱۲	۷,۹۳	۶,۴۶
CaO	۰,۰۷	۰,۱۱	۰,۰۸	۰,۱۲	۰,۰۹	۰,۰۹	۰,۱۵	۰,۱۹	۰,۱۳	۰,۲۶	۰,۱۵	۰,۲۱
Na <sub>2</sub> O	۰,۳۰	۰,۲۵	۰,۳۲	۰,۲۸	۰,۲۶	۰,۲۰	۰,۳۹	۰,۴۵	۰,۴۲	۰,۱۶	۰,۲۷	۰,۱۷
K <sub>2</sub> O	۸,۳۸	۸,۲۵	۸,۲۸	۸,۱۰	۸,۲۲	۸,۳۶	۸,۷۸	۸,۳۹	۸,۷۸	۹,۵۸	۸,۰۴	۹,۴۰
مجموع	۹۱,۶۲	۹۱,۱۲	۹۱,۸۸	۹۱,۲۲	۹۱,۸۹	۹۳,۹۸	۹۴,۴۹	۹۸,۹۳	۹۵,۹۷	۹۵,۶۱	۹۵,۹۵	۹۴,۴۱
Si	۲,۶۵	۲,۶۳	۲,۶۵	۲,۵۸	۲,۶۴	۲,۷۱	۲,۶۵	۲,۶۳	۲,۶۴	۲,۶۷	۲,۶۱	۲,۷۳
Ti	۰,۰۵	۰,۰۷	۰,۰۶	۰,۰۴	۰,۰۴	۰,۰۷	۰,۰۹	۰,۰۸	۰,۰۷	۰,۱۷	۰,۰۸	۰,۱۷
Al	۱,۷۷	۱,۷۶	۱,۷۵	۱,۸۷	۱,۷۷	۱,۷۳	۱,۷۲	۱,۸۳	۱,۷۴	۱,۷۰	۱,۷۲	۱,۷۳
Fe <sup>3+</sup>	۰,۱۴	۰,۱۷	۰,۱۴	۰,۱۹	۰,۱۷	۰,۰۴	۰,۱۴	۰,۰۳	۰,۰۸	۰,۰۰	۰,۲۳	۰,۰۰
Fe <sup>2+</sup>	۱,۱۳	۱,۰۷	۱,۱۳	۱,۰۹	۱,۱۰	۱,۲۲	۱,۳۸	۱,۴۶	۱,۴۶	۱,۰۴	۱,۳۲	۱,۵۶
Mn	۰,۰۱	۰,۰۰	۰,۰۰	۰,۰۰	۰,۰۰	۰,۰۰	۰,۲۹	۰,۲۶	۰,۰۳	۰,۰۲	۰,۰۲۶	۰,۰۲
Mg	۱,۱۶	۱,۲۱	۱,۱۷	۱,۴۲	۱,۱۷	۱,۱۳	۰,۹۰	۰,۸۵	۰,۸۸	۰,۷۱	۰,۹۱	۰,۵۴
Ca	۰,۰۱	۰,۰۱	۰,۰۱	۰,۰۱	۰,۰۱	۰,۰۱	۰,۰۱	۰,۰۲	۰,۰۱	۰,۰۲	۰,۰۱	۰,۰۲
Na	۰,۰۵	۰,۱۴	۰,۰۵	۰,۰۶	۰,۰۶	۰,۰۳	۰,۰۶	۰,۰۷	۰,۰۶	۰,۰۲	۰,۰۴	۰,۰۳
K	۰,۸۴	۰,۸۳	۰,۸۳	۰,۸۲	۰,۸۲	۰,۸۲	۰,۷۸	۰,۸۳	۰,۸۶	۰,۹۵	۰,۷۹	۰,۹۷
مجموع	۷,۷۹	۷,۷۸	۷,۷۸	۷,۷۹	۷,۷۸	۷,۷۶	۷,۷۵	۷,۸۲	۷,۸۴	۷,۸۰	۷,۷۵	۷,۷۴
Mg(Mg+Fe <sup>2+</sup> )	۰,۴۸	۰,۴۹	۰,۴۸	۰,۴۷	۰,۴۸	۰,۴۷	۰,۳۷	۰,۳۶	۰,۳۶	۰,۳۱	۰,۳۳	۰,۳۷
XAl(T)	۰,۶۷	۰,۶۸	۰,۶۷	۰,۶۷	۰,۶۷	۰,۶۷	۰,۶۴	۰,۶۷	۰,۶۹	۰,۶۸	۰,۶۷	۰,۶۴
phl	۰,۴۹	۰,۴۷	۰,۴۹	۰,۴۳	۰,۴۸	۰,۴۲	۰,۶۱	۰,۶۳	۰,۶۲	۰,۶۸	۰,۵۹	۰,۷۴
ann	۰,۵۱	۰,۵۳	۰,۵۱	۰,۵۷	۰,۵۲	۰,۴۸	۰,۳۹	۰,۳۷	۰,۳۸	۰,۳۲	۰,۴۱	۰,۲۶

جدول ۴ داده‌های معرف کانی گارنت. تعداد کاتیون‌ها بر اساس ۱۲ اتم اکسیژن محاسبه شده است.

نمونه	MIB-3	MIB-3	MIB-3	MIB-3	MIB-3	MIB-3	MIB-2	MIB-2	MIB-2	MIB-2	MIB-2	MIB-2
SiO <sub>2</sub>	۳۵,۷۵	۳۵,۵۸	۳۶,۸۶	۳۶,۰۰	۳۵,۸۱	۳۵,۹۴	۳۵,۴۰	۳۵,۰۷	۳۵,۸۵	۳۵,۴۲	۳۵,۹۸	۳۵,۰۳
TiO <sub>2</sub>	۰,۰۵	۰,۰۰	۰,۰۰	۰,۰۰	۰,۰۲	۰,۱۳	۰,۱۹	۰,۱۸	۰,۲۱	۰,۱۳	۰,۱۲	۰,۱۷
Al <sub>2</sub> O <sub>3</sub>	۲۰,۵۷	۲۰,۵۹	۲۱,۶۴	۲۰,۴۹	۲۰,۴۶	۲۰,۵۳	۱۹,۰۴	۱۹,۳۸	۲۰,۳۱	۱۹,۹۸	۱۹,۷۶	۱۹,۲۹
Fe <sub>2</sub> O <sub>3</sub>	۲,۸۲	۲,۵۳	۰,۰۴	۲,۷۱	۲,۵۲	۲,۴۳	۴,۱۶	۵,۲۱	۲,۴۷	۳,۰۴	۲,۸۳	۴,۶۵
FeO	۳۰,۲۹	۳۰,۲۸	۳۲,۰۳	۳۰,۹۲	۳۰,۶۵	۳۱,۱۰	۳۲,۸۷	۲۶,۸۰	۲۸,۰۹	۲۸,۵۰	۳۳,۵۸	۲۶,۴۲
MnO	۶,۳۷	۶,۰۰	۵,۹۸	۵,۸۶	۵,۰۹	۵,۶۲	۴,۱۵	۱۰,۱۴	۱۰,۳۲	۹,۰۵	۴,۱۶	۱۰,۹۹
MgO	۲,۳۰	۲,۴۷	۲,۳۲	۲,۵۲	۲,۶۲	۲,۵۳	۱,۸۸	۱,۳۵	۱,۳۵	۱,۳۴	۱,۸۵	۱,۳۰
CaO	۱,۵۰	۱,۳۶	۱,۳۶	۱,۲۲	۱,۲۳	۱,۲۹	۱,۰۷	۱,۴۹	۱,۱۴	۱,۲۰	۱,۰۳	۱,۱۷
Na <sub>2</sub> O	۰,۰۰	۰,۰۱	۰,۰۱	۰,۰۳	۰,۰۶	۰,۰۱	۰,۰۸	۰,۰۸	۰,۰۹	۰,۰۹	۰,۰۸	۰,۰۸
K <sub>2</sub> O	۰,۰۱	۰,۰۰	۰,۰۲	۰,۰۰	۰,۰۰	۰,۰۳	۰,۱۱	۰,۱۱	۰,۰۹	۰,۱۵	۰,۱۰	۰,۱۰
مجموع	۹۹,۶۶	۹۸,۸۲	۱۰۰,۲۶	۹۹,۷۵	۹۸,۹۶	۹۹,۶۱	۹۸,۹۵	۹۹,۸۱	۹۹,۹۱	۹۸,۹۰	۹۹,۵۰	۹۹,۲۰
Si	۲,۹۲	۲,۹۳	۲,۹۷	۲,۹۴	۲,۹۴	۲,۹۳	۲,۹۴	۲,۹۰	۲,۹۴	۲,۹۴	۲,۹۶	۲,۹۱
Ti	۰,۰۰	۰,۰۰	۰,۰۰	۰,۰۰	۰,۰۰	۰,۰۱	۰,۰۱	۰,۰۱	۰,۰۱	۰,۰۱	۰,۰۱	۰,۰۱
Al	۱,۹۸	۱,۱۰	۲,۰۶	۱,۹۷	۱,۹۸	۱,۹۸	۱,۸۶	۱,۸۹	۱,۹۶	۱,۹۵	۱,۹۲	۱,۸۹
Fe <sup>3+</sup>	۰,۱۷	۰,۱۶	۰,۰۰	۰,۱۷	۰,۱۶	۰,۱۵	۰,۲۶	۰,۳۲	۰,۱۵	۰,۱۹	۰,۱۸	۰,۲۹
Fe <sup>2+</sup>	۲,۰۷	۲,۰۸	۲,۱۶	۲,۱۱	۲,۱۰	۲,۱۲	۲,۲۸	۱,۸۵	۱,۹۳	۱,۹۸	۲,۳۱	۱,۸۴
Mn	۰,۴۴	۰,۴۲	۰,۴۱	۰,۴۱	۰,۳۹	۰,۳۹	۰,۲۹	۰,۷۱	۰,۷۲	۰,۶۴	۰,۲۹	۰,۷۷
Mg	۰,۲۸	۰,۳۰	۰,۲۸	۰,۳۱	۰,۳۲	۰,۳۱	۰,۲۳	۰,۱۷	۰,۱۷	۰,۱۷	۰,۲۳	۰,۱۶
Ca	۰,۱۳	۰,۱۲	۰,۱۲	۰,۱۱	۰,۱۱	۰,۱۱	۰,۱۰	۰,۱۳	۰,۱۰	۰,۱۱	۰,۰۹	۰,۱۰
Na	۰,۰۰	۰,۰۰	۰,۰۰	۰,۰۱	۰,۰۱	۰,۰۰	۰,۰۱	۰,۰۱	۰,۰۱	۰,۰۱	۰,۰۱	۰,۰۱
K	۰,۰۰	۰,۰۰	۰,۰۰	۰,۰۰	۰,۰۰	۰,۰۰	۰,۰۱	۰,۰۱	۰,۰۱	۰,۰۲	۰,۰۱	۰,۰۱
مجموع	۸,۰۰	۸,۰۰	۸,۰۰	۸,۰۰	۸,۰۰	۸,۰۰	۸,۰۰	۸,۰۰	۸,۰۰	۸,۰۰	۸,۰۰	۸,۰۰
Alm	۰,۷۱	۰,۷۱	۰,۷۳	۰,۷۲	۰,۷۲	۰,۷۲	۰,۷۹	۰,۶۵	۰,۶۶	۰,۶۸	۰,۷۹	۰,۶۴
Pyp	۰,۱۰	۰,۱۰	۰,۰۹	۰,۱۱	۰,۱۱	۰,۱۱	۰,۰۸	۰,۰۶	۰,۰۶	۰,۰۶	۰,۰۸	۰,۰۶
Spss	۰,۱۵	۰,۱۴	۰,۱۴	۰,۱۴	۰,۱۳	۰,۱۳	۰,۱۰	۰,۲۵	۰,۲۵	۰,۲۲	۰,۱۰	۰,۲۷
Grs	۰,۰۴	۰,۰۴	۰,۰۴	۰,۰۴	۰,۰۴	۰,۰۴	۰,۰۳	۰,۰۵	۰,۰۳	۰,۰۴	۰,۰۳	۰,۰۳

جدول ۵ داده‌های معرف کانی کردیریت. تعداد کاتیون‌ها بر اساس ۱۸ اتم اکسیژن محاسبه شده است.

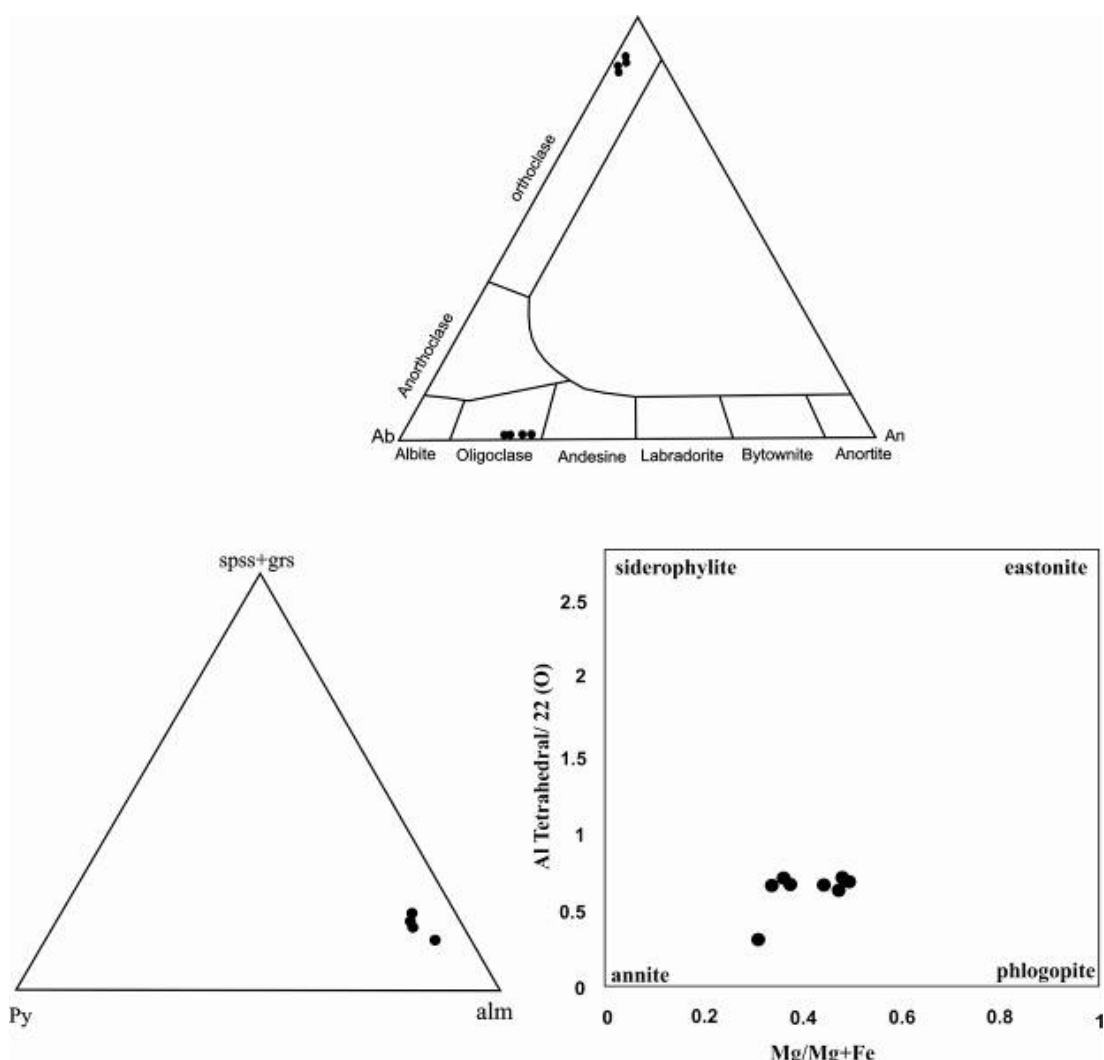
نمونه	MIB-3	MIB-3	MIB-3	MIB-2								
SiO <sub>2</sub>	۴۷,۷۳	۴۷,۰۴	۴۷,۱۲	۴۶,۷۵	۴۶,۲۱	۴۶,۴۹	۴۶,۴۸	۴۷,۱۱	۴۴,۷	۴۶,۵۲	۴۶,۷۴	
TiO <sub>2</sub>	۰,۰۷	۰,۰۰	۰,۰۳	۰,۱۱	۰,۱۱	۰,۱۳	۰,۱۵	۰,۰۹	۰,۱۱	۰,۰۳	۰,۰۷	
Al <sub>2</sub> O <sub>3</sub>	۳۱,۹	۳۱,۹۱	۳۲,۱۸	۳۲,۰۲	۳۱,۷۵	۳۲,۱۹	۳۱,۹۴	۳۲,۰۸	۳۰,۷۰	۳۱,۸۹	۳۱,۶۷	
Fe <sub>2</sub> O <sub>3</sub>	۱,۹۶	۲,۰۷	۱,۰۰	۲,۸۵	۲,۷۶	۲,۸۰	۲,۸۱	۲,۸۹	۲,۷۸	۱,۹۴	۱,۷۵	
FeO	۷,۱۶	۷,۴۶	۷,۸۹	۱,۰۲۴	۹,۹۴	۱۰,۰۶	۱,۰۱۰	۱,۰۳۹	۹,۹۹	۱,۰۸۱	۱,۰۱۰	
MnO	۰,۴۳	۰,۴۱	۰,۴۰	۰,۶۳	۰,۵۴	۰,۶۵	۰,۶۱	۰,۵۳	۰,۶۳	۰,۴۶	۰,۴۷	
MgO	۷,۰۵	۷,۰۷	۶,۹۳	۵,۷۳	۵,۵۹	۵,۴۷	۵,۶۷	۵,۶۶	۵,۹۶	۵,۶۳	۵,۶۸	
CaO	۰,۰۳	۰,۰۲	۰,۰۲	۰,۱۳	۰,۱۴	۰,۱۷	۰,۱۶	۰,۱۵	۰,۱۸	۰,۰۱	۰,۰۰	
Na <sub>2</sub> O	۰,۴۰	۰,۴۳	۰,۳۱	۰,۱۳	۰,۱۶	۰,۲۱	۰,۱۷	۰,۱۸	۰,۱۶	۰,۱۴	۰,۱۵	
K <sub>2</sub> O	۰,۰۰	۰,۰۰	۰,۰۰	۰,۰۹	۰,۰۹	۰,۰۹	۰,۰۸	۰,۰۹	۰,۱۰	۰,۰۱	۰,۰۰	
مجموع	۹۶,۸۳	۹۶,۴۱	۹۵,۹۹	۹۸,۸۱	۹۷,۲۹	۹۸,۲۶	۹۸,۱۷	۹۹,۱۷	۹۵,۳۱	۹۷,۳۱	۹۷,۳۸	
Si	۴,۹۶	۴,۹۷	۴,۹۹	۴,۹۱	۴,۹۱	۴,۹۰	۴,۹۰	۴,۹۲	۴,۸۶	۴,۹۴	۴,۹۶	
Ti	۰,۰۱	۰,۰۰	۰,۰۰	۰,۰۱	۰,۰۱	۰,۰۱	۰,۰۱	۰,۰۱	۰,۰۰	۰,۰۰	۰,۰۱	
Al	۳,۹۹	۳,۹۷	۴,۰۱	۳,۹۶	۳,۹۸	۳,۱۰	۳,۹۷	۳,۹۵	۳,۹۶	۳,۹۹	۳,۹۶	
Fe <sup>3+</sup>	۰,۱۶	۰,۱۷	۰,۰۸	۰,۲۳	۰,۲۲	۰,۲۲	۰,۲۲	۰,۲۳	۰,۲۳	۰,۱۶	۰,۱۴	
Fe <sup>2+</sup>	۰,۶۴	۰,۶۶	۰,۷۰	۰,۹۰	۰,۸۸	۰,۸۹	۰,۸۹	۰,۹۱	۰,۹۱	۰,۹۵	۰,۹۶	
Mn	۰,۰۴	۰,۰۴	۰,۰۴	۰,۰۶	۰,۰۵	۰,۰۶	۰,۰۶	۰,۰۵	۰,۰۶	۰,۰۴	۰,۰۴	
Mg	۱,۱۲	۱,۱۱	۱,۰۹	۰,۹۰	۰,۸۹	۰,۸۶	۰,۸۹	۰,۸۸	۰,۹۷	۰,۸۹	۰,۹۰	
Ca	۰,۰۰	۰,۰۰	۰,۰۸	۰,۰۲	۰,۰۲	۰,۰۲	۰,۰۲	۰,۰۲	۰,۰۲	۰,۰۰	۰,۰۰	
Na	۰,۰۸	۰,۰۹	۰,۱۰	۰,۰۳	۰,۰۳	۰,۰۴	۰,۰۴	۰,۰۴	۰,۰۳	۰,۰۳	۰,۰۳	
K	۰,۰۰	۰,۰۰	۰,۰۰	۰,۰۱	۰,۰۱	۰,۰۱	۰,۰۱	۰,۰۱	۰,۰۱	۰,۰۰	۰,۰۰	
مجموع	۱۱	۱۱,۰۱	۱۱,۰۰	۱۱,۰۱	۱۱,۰۰	۱۱,۰۱	۱۱,۰۱	۱۱,۰۱	۱۱,۰۶	۱۱,۰۰	۱۱,۰۰	
crd	۰,۳۶	۰,۳۷	۰,۳۹	۰,۰۵	۰,۰۵	۰,۰۵	۰,۰۵	۰,۰۵	۰,۴۸	۰,۵۲	۰,۵	
fcrd	۰,۶۴	۰,۶۳	۰,۶۱	۰,۰۵	۰,۰۵	۰,۴۹	۰,۰۵	۰,۴۹	۰,۵۲	۰,۴۸	۰,۵	

جدول ۶ داده‌های معرف کانی اسپینل. تعداد کاتیون‌ها بر اساس ۴ اتم اکسیژن محاسبه شده است.

نمونه	MIB-3	MIB-3	MIB-3	MIB-3	MIB-3	MIB-3	MIB-2
SiO <sub>2</sub>	۰,۲۹	۰,۰۰	۰,۰۴	۰,۰۱	۰,۰۴	۰,۰۳	۰,۲۱
TiO <sub>2</sub>	۰,۰۲	۰,۰۰	۰,۰۰	۰,۰۰	۰,۰۵	۰,۰۰	۰,۲۱
Al <sub>2</sub> O <sub>3</sub>	۵۷,۴۶	۵۷,۱۷	۵۷,۵۹	۵۷,۸۲	۵۷,۸۰	۵۷,۷۲	۵۶,۲۸
Fe <sub>2</sub> O <sub>3</sub>	۰,۵۸	۲,۴۲	۱,۷۲	۰,۹۹	۱,۴۰	۱,۱۸	۲,۸۲
FeO	۳۵,۷۸	۳۴,۴۸	۳۴,۲۱	۳۴,۶۱	۳۴,۵۹	۳۴,۲۱	۳۷,۲۷
MnO	۰,۵۷	۰,۵۸	۰,۶۱	۰,۶۸	۰,۵۶	۰,۶۹	۰,۵۶
MgO	۲,۶۳	۲,۲۰	۲,۳۸	۲,۱۷	۲,۲۵	۲,۲۷	۱,۵۴
CaO	۰,۰۳	۰,۰۳	۰,۰۵	۰,۰۲	۰,۰۱	۰,۰۲	۰,۱۵
Na <sub>2</sub> O	۰,۰۵	۰,۰۸	۰,۰۸	۰,۰۳	۰,۰۷	۰,۰۷	۰,۱۲
K <sub>2</sub> O	۰,۰۳	۰,۰۳	۰,۰۲	۰,۰۲	۰,۰۵	۰,۰۳	۰,۱۱
مجموع	۹۷,۴۴	۹۷,۹۹	۹۷,۷۰	۹۷,۳۵	۹۷,۸۲	۹۷,۲۲	۹۹,۳۷
Si	۰,۰۰۸	۰,۰۰	۰,۰۰۱	۰,۰۰	۰,۰۰۱	۰,۰۰۱	۰,۰۰۶
Ti	۰,۰۰	۰,۰۰	۰,۰۰	۰,۰۰	۰,۰۰۱	۰,۰۰	۰,۰۰۵
Al	۱,۹۷۳	۱,۹۵۳	۱,۹۶۵	۱,۹۸۰	۱,۹۷۱	۱,۹۷۸	۱,۹۲۸
Fe <sup>3+</sup>	۰,۰۱۳	۰,۰۵۳	۰,۰۳۷	۰,۰۲۲	۰,۰۳۱	۰,۰۲۶	۰,۰۶۲
Fe <sup>2+</sup>	۰,۸۷۲	۰,۸۳۵	۰,۸۲۸	۰,۸۴۱	۰,۸۳۷	۰,۸۳۲	۰,۹۰۴
Mn	۰,۰۱۴	۰,۰۱۴	۰,۰۱۵	۰,۰۱۷	۰,۰۱۴	۰,۰۱۷	۰,۰۱۴
Mg	۰,۱۱۴	۰,۱۳۸	۰,۱۴۶	۰,۱۳۷	۰,۱۴۰	۰,۱۴۲	۰,۰۶۷
Ca	۰,۰۰۱	۰,۰۰۱	۰,۰۰۲	۰,۰۰۱	۰,۰۰	۰,۰۰۱	۰,۰۰۵
Na	۰,۰۰۳	۰,۰۰۴	۰,۰۰۴	۰,۰۰۲	۰,۰۰۴	۰,۰۰۴	۰,۰۰۷
K	۰,۰۰۱	۰,۰۰۱	۰,۰۰۱	۰,۰۰۱	۰,۰۰۲	۰,۰۰۱	۰,۰۰۴
مجموع	۳,۰۰	۳,۰۰	۳,۰۰	۳,۰۰	۳,۰۰	۳,۰۰	۳,۰۰
اسپینل	۰,۱۳	۰,۱۵	۰,۱۶	۰,۱۶	۰,۱۶	۰,۱۶	۰,۰۷۶
هرسینیت	۰,۸۸	۰,۸۲	۰,۸۳	۰,۸۵	۰,۸۴	۰,۸۴	۰,۸۸

جدول ۷ داده‌های معرف کانی کرونند در میگماتیت‌های بروجرد.

نمونه	MIB-3	MIB-3	MIB-3	MIB-3	MIB-3
SiO <sub>2</sub>	۱,۷۲	۰,۰۳	۰,۴۴	۰,۰۰	۰,۰۱
Al <sub>2</sub> O <sub>3</sub>	۹۳,۲۲	۹۷,۱۰	۹۸,۰۴	۹۹,۸۶	۹۶,۹۹
TiO <sub>2</sub>	۰,۰۰	۰,۰۶	۰,۰۶	۰,۰۶	۰,۰۱
Cr <sub>2</sub> O <sub>3</sub>	۰,۰۰	۰,۰۰	۰,۰۰	۰,۰۰	۰,۰۰
FeO	۰,۲۷	۰,۲۸	۰,۲۶	۰,۲۶	۰,۲۴
MnO	۰,۰۰	۰,۰۰	۰,۰۰	۰,۰۱	۰,۰۰
MgO	۰,۰۱	۰,۰۰	۰,۰۰	۰,۰۰	۰,۰۰
CaO	۰,۰۱	۰,۰۱	۰,۰۱	۰,۰۱	۰,۰۱
Na <sub>2</sub> O	۰,۰۱	۰,۰۰	۰,۰۱	۰,۰۰	۰,۰۰
K <sub>2</sub> O	۰,۰۲	۰,۰۲	۰,۰۱	۰,۰۱	۰,۰۰
مجموع	۹۵,۲۶	۹۷,۵۰	۹۸,۸۳	۱۰۰,۲۱	۹۷,۲۶
Si	۰,۳۰۶	۰,۰۰۵	۰,۰۷۶	۰,۰۰	۰,۰۰۲
Ti	۰,۰۰	۰,۰۰۸	۰,۰۰۸	۰,۰۰۸	۰,۰۰۲
Al	۱۹,۵۵	۱۹,۹۵	۱۹,۸۶	۱۹,۹۶	۱۹,۳۹
Fe <sup>2+</sup>	۰,۰۲۴	۰,۰۲۴	۰,۰۲۲	۰,۰۲۲	۰,۰۰۲
Mn	۰,۰۰	۰,۰۰	۰,۰۰	۰,۰۰۱	۰,۰۰
Mg	۰,۰۰۳	۰,۰۰	۰,۰۰	۰,۰۰	۰,۰۰
Ca	۰,۰۰۲	۰,۰۰۲	۰,۰۰۲	۰,۰۰۲	۰,۰۰۲
Na	۰,۰۰۳	۰,۰۰	۰,۰۰۳	۰,۰۰	۰,۰۰
K	۰,۰۰۵	۰,۰۰۴	۰,۰۰۲	۰,۰۰۱	۰,۰۰



شکل ۵ ترکیب شیمیایی کانی‌ها در میگماتیت‌های بروجرد: (الف) ترکیب شیمیایی پلازیوکلازها و فلدسپارهای قلیابی در نمودارهای سه‌تایی [۲۶] و (پ) ترکیب شیمیایی گارنت نمودار سه‌تایی Fe, Mg, Mn+Ca بر نمودار سه‌تایی Or, Ab, An [۲۷] و آنیت شیمیایی بیوتیت‌ها در نمودار چاروچهی که بین قطب فلوجوپیت و آنیت قرار گرفته‌اند نسبت به  $\text{Al Tetrahedral}/22(\text{O})$  می‌باشد.

غنى از Fe یا از نوع آلماندین هستند. مقدار  $X_{\text{Fe}}$  در گارنت میگماتیت‌های بروجرد بین ۰/۲۱ تا ۰/۴۲ است. در ترکیب گارنت Ti وجود ندارد و یا مقدار آن بسیار کم است. کردیریت: نتایج شیمیایی نمونه‌های کردیریت در جدول ۵ آورده شده است. تعداد کاتیون‌های کردیریت بر اساس ۱۸ اتم اکسیژن محاسبه شده است. کاتیون‌های کردیریت بر اساس ۱۱ اتم اکسیژن محاسبه شده اند. مقدار  $X_{\text{Fe}}$  کردیریت در منطقه بروجرد، غنى از منیزیم هستند. مقدار  $X_{\text{Fe}}$  کردیریت‌ها بین ۰/۳۶ تا ۰/۵۲ و مقدار کسر مولی منیزیم در کردیریت‌ها بین ۰/۴۸ تا ۰/۶۴ متغیر است.

اسپینل: نتایج تجزیه‌های شیمیایی نمونه‌های اسپینل بروجرد در جدول ۶ آورده شده است. تعداد کاتیون‌های اسپینل بر

بیوتیت: نتایج تجزیه شیمیایی بیوتیت‌ها در جدول ۳ ارائه شده اند. تعداد کاتیون‌ها بر اساس ۱۱ اتم اکسیژن محاسبه شده است. براساس شکل ۵ فلوجوپیت و آنیت سازنده‌های غالب بیوتیت‌ها هستند. در میگماتیت‌های بروجرد، مقدار  $X_{\text{Mg}}$  بیوتیت بین ۰/۳۱ تا ۰/۴۹ و مقدار  $\text{TiO}_2$  بیوتیت‌ها بین ۰/۶۱ تا ۰/۸۵ متغیر است.

گارنت: نتایج تجزیه‌های شیمیایی نمونه‌های گارنت در ملانوسوم‌ها در جدول ۴ آورده شده است. مقدار  $\text{Fe}^{3+}$  بر اساس ۸ کاتیون و ۱۲ اتم اکسیژن محاسبه شده است. ترکیب شیمیایی گارنت بر نمودار سه‌تایی Fe, Mg, Mn + Ca [۲۷] نشان داده شده است (شکل ۵ ب); به طور معمول، گارنت‌ها

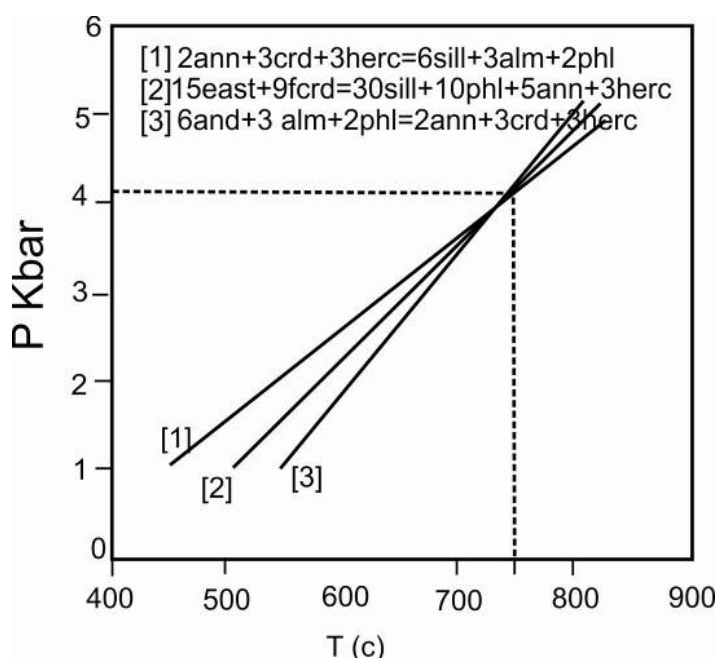
بالاترین تعداد کانی که از نظر بافتی و ترمودینامیکی در تعادل انتخاب شد. دمای تقریبی محاسبه شده برای اوج دگرگونی میگماتیت‌های بروجرد ۷۵۰ درجه سانتی‌گراد بوده و فشار ۴ کیلوبار محاسبه شده است (شکل ۶ الف). در این محاسبات، فعالیت همه کانی‌ها برای محاسبه واکنش‌های تعادلی اوج دگرگونی با استفاده از برنامه AX [۲۸] بدست آمد که در جدول ۸ ارائه شده است. بر اساس این داده‌ها، عمق شکل‌گیری سنگ‌های دگرگونی بروجرد ۱۴ کیلومتر و بنابراین شب زمین گرمایی محاسبه شده در این سنگ تقریباً ۵۴ درجه سانتی‌گراد بر کیلومتر بوده است که در گستره دگرگونی‌های مجاورتی و سری دگرگونی باکان قرار می‌گیرند و منطبق بر دگرگونی‌های فشار پایین و دمای بالاست (شکل ۶ ب).

اساس ۴ اتم اکسیژن محاسبه شده است. به طور معمول، اسپینل‌های میگماتیت‌های منطقه بروجرد غنی از Mg یا از نوع هرسینیت هستند. مقدار  $X_{Mg}$  اسپینل بین ۰,۸۲ تا ۰,۹۴ برآورد شده است.

کروندم: نتایج تجزیه‌های شیمیایی نمونه‌های کروندم در جدول ۷ آورده شده است. فراوانی  $SiO_2$  برابر با ۰,۷۲، مقدار  $Al_2O_3$  تا ۰,۲۴، مقدار  $FeO$  تا ۰,۲۸ و فراوانی  $MgO$  در این کانی حدود ۰,۰۱ درصد وزنی است.

#### برآورد دما و فشار دگرگونی

به منظور محاسبه شرایط دگرگونی و ذوب و ترکیب سیال‌ها در میگماتیت‌های بروجرد از روش منحنی‌های تعادلی چند گانه (نمودار سنگ‌زایی) که توسط برنامه ترموکالک (نسخه ۳,۲ [۲۸]) رسم شده‌اند استفاده شد. برای این منظور، نمونه‌ای با



شکل ۶ برآورد فشار ۴ کیلوبار و دمای ۷۵۰ درجه سانتی‌گراد برای اوج دگرگونی میگماتیت‌های بروجرد با استفاده از برنامه ترموکالک، براساس واکنش‌های ۱ – ۴ ارائه شده در متن مقاله.

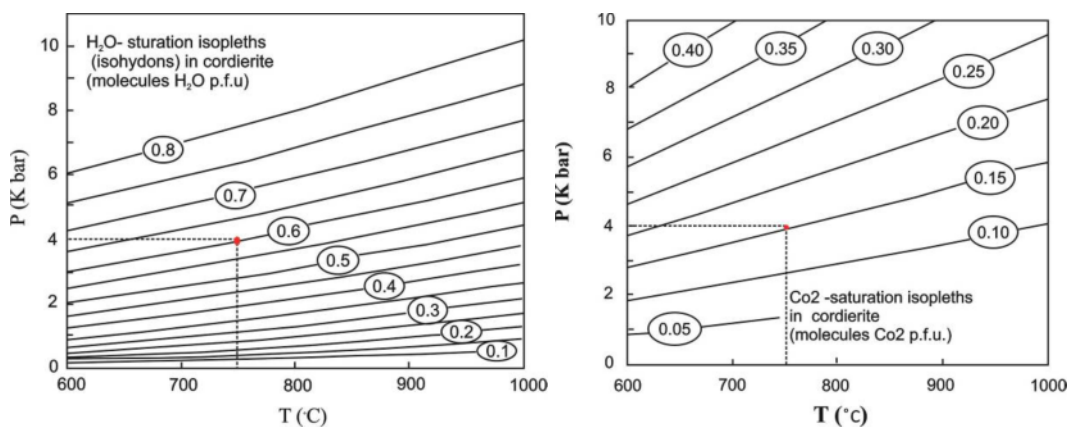
جدول ۸ فعالیت همه کانی‌ها برای محاسبه واکنش‌های تعادلی اوج دگرگونی با استفاده از برنامه AX [۲۲]

مجموعه کانی در میگماتیت‌های بروجرد	فعالیت
Grt, Bt, Crd, Sill, And, Cor, Spl, Plg, Qtz, $H_2O$	Q, Sill, And, Cor, herc •, sp •, ab •, phl •, ann •, ferd •, crd •, alm •, py •, $H_2O$

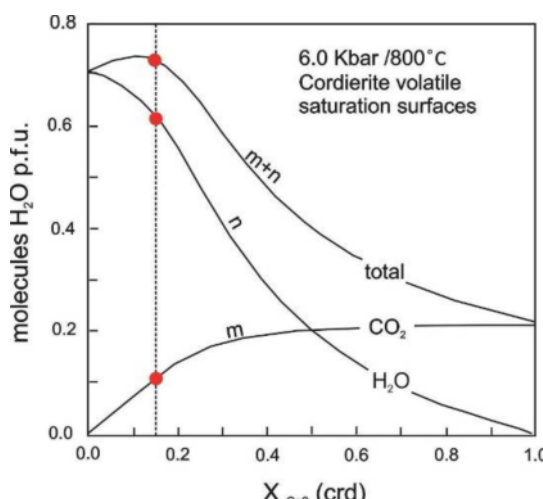
شده است. براساس نمودار دما و فشار با ایزوپلیت‌های آب موجود در کردیریت همزیست با مذاب (سیال) غنی از  $\text{H}_2\text{O}$  در کردیریت آب در کردیریت موجود در ملانوسوم میگماتیت‌های بروجرد  $0/6$  درصد است (شکل ۷ الف) و همچنین برای محاسبه فعالیت  $\text{CO}_2$  در کردیریت موجود در ملانوسوم میگماتیت‌ها از مدل مرجع [۳۰] استفاده شد که براساس نمودار دما و فشار با ایزوپلیت‌های  $\text{CO}_2$  در کردیریت همزیست با سیال غنی از  $\text{CO}_2$ ، برابر با  $0/15$  است (شکل ۷ ب). با توجه به مقدار بدست آمده برای فعالیت  $\text{CO}_2$  موجود در کردیریت ملانوسوم‌ها بر اساس مدل ارائه شده در مرجع [۳۴]، تعداد مولکول‌های آب ( $n$ ) و تعداد مولکول‌های  $\text{CO}_2$  ( $m$ ) موجود در شبکه کردیریت بر اساس فرمول ساختمانی آن به ترتیب  $0/6$  و  $0/1$  محاسبه شده است که مجموع آنها ( $m+n$ ) برابر با  $0/7$  است (شکل ۸).

### بحث و بررسی

با استفاده از فعالیت سیال‌های  $\text{CO}_2$  و  $\text{H}_2\text{O}$  در کردیریت‌ها می‌توان شرایط ذوب بدون حضور سیال آزاد و ذوب با حضور سیال آزاد را تعیین کرد. در شرایط ذوب با حضور سیال و فراوانی مطلق  $X_{\text{CO}_2}$  در کردیریت به شرایط دما و فشار و  $X_{\text{CO}_2}$  در سیال همزیست بستگی دارد [۳۰، ۲۹، ۶، ۵]. همچنین در این شرایط، توزیع  $\text{CO}_2$  و  $\text{H}_2\text{O}$  بین مذاب و کردیریت توسط ویژگی‌های مجراهای کردیریت که دارای سیال‌های  $\text{CO}_2$  و  $\text{H}_2\text{O}$  است کنترل می‌شود [۳۳، ۳۲، ۳۱، ۲۹]. به منظور تعیین فعالیت سیال‌ها در میگماتیت‌های بروجرد براساس مقدار دما و فشار بدست آمده از برنامه ترمومکالک، از کانی کردیریت استفاده شد. بیشینه سیال‌ها در کانی کردیریت در فشار ۲ تا ۸ کیلوبار و دمای ۵۰۰ تا ۱۰۰۰ درجه سانتی‌گراد با استفاده از روش آمیختگی آرمانی مدل‌سازی شده است [۲۹]. به منظور تعیین فعالیت  $\text{H}_2\text{O}$  کردیریت از مدل مرجع [۲۹] استفاده



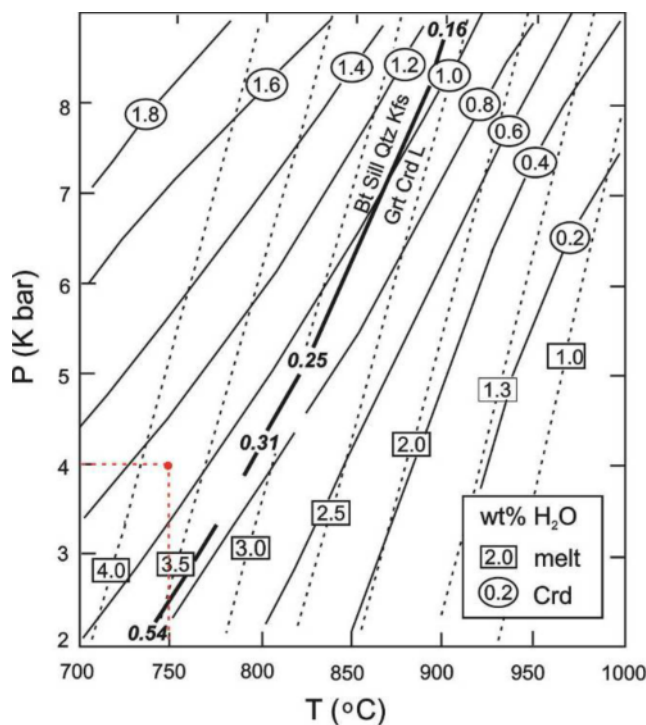
شکل ۷ مقدار فعالیت (الف) آب و (ب)  $\text{CO}_2$  در کردیریت موجود در ملانوسوم میگماتیت‌ها.



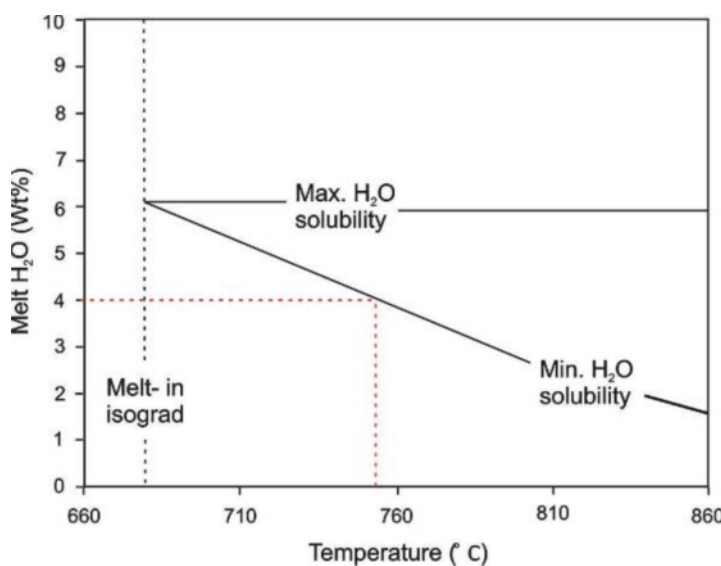
شکل ۸ نمودار تعیین تعداد مولکول‌های آب و  $\text{CO}_2$  موجود در شبکه کردیریت [۳۵].

همراه مجموعه کردیریت+بیوتیت+سیلیمانیت+کوارتز+پتاسیم فلدسپار و مذاب به وجود می‌آید. بر منحنی انجام‌داد در سیستم  $Bt + Sill + Kfs + Q = Grt + Crd + L$  KFMASH برگرفته از مرجع [۳۵] است مقادیر فعالیت آب به صورت  $H_2O$  ایتالیک نوشته شده است. بر اساس شکل ۷ الف، مقدار  $H_2O$  در مذاب میگماتیت‌های بروجرد  $3/75$  درصد وزنی و در کردیریت موجود در ملاتوسوم میگماتیت‌های بروجرد تقریباً  $D_w = Wt\% / 1.1$  درصد وزنی است که براساس رابطه  $D_w = Wt\% H_2O(melt) / H_2O(Crd)$  مربوط به واکنش‌های ذوب در دمای  $750^{\circ}C$  درجه سانتی گراد برای میگماتیت‌های بروجرد  $3/41$  درصد وزنی است که متناسب با واکنش آبزدایی بیوتیت بوده و نشان‌دهنده مذاب با کمترین  $H_2O$  در دما و فشار معین است و با واکنش ذوب بدون  $H_2O$  آزاد در این میگماتیت‌ها همخوانی دارد. مقدار سیال آزاد در نمونه‌های ذوب براساس مدل ارائه شده در مرجع [۳۷] بر خط دارای کمترین آب قرار گرفته‌اند که بیانگر حالت بدون سیال آزاد است (شکل ۱۰). این موضوع درستی نتایج سنگنگاری و واکنش‌های ذوب بدون سیال آزاد در میگماتیت‌های منطقه بروجرد را تأیید می‌کند.

مقدار بالای توزیع آب بین مذاب و کردیریت ( $D_w$ ) با واکنش‌های ذوب متناسب است. واکنش‌های آبزدایی بیوتیت اثر قابل توجهی بر مقادیر بالای توزیع آب بین مذاب و کردیریت دارد، بطوريکه در واکنش آبزدایی بیوتیت به شرط آنکه فاز اضافی وجود داشته باشد (مانند کوارتز)، مذاب با کمترین  $H_2O$  در دما و فشار معین ایجاد می‌شود. بر اساس پژوهش هارلی و همکارش [۲۹]، مقدار  $D_w$  مربوط به واکنش‌های آبزدایی بیوتیت در دمای  $750^{\circ}C$  تا  $900^{\circ}C$  درجه سانتی گراد بین  $2/6$  و  $6/4$  است. شکل ۹ نمودار P-T روابط آب مذاب - کردیریت را در شرایطی که مذاب کمترین مقدار آب در دما و فشار معین را دارد نمایش داده است. خطوط نقطه چین بیانگر کمترین مقدار آب مذاب و برگرفته از مراجع [۳۶، ۲۹] است که درصد وزنی آب مذاب در مستطیل‌ها نوشته شده است. خطوط پیوسته که درصد آب موجود در کردیریت را نشان می‌دهد برگرفته از مرجع [۲۹] است؛ درصد وزنی آب کردیریت در بیضی‌ها نشان داده شده است. مقدار آب کردیریت در دمای بالای  $750^{\circ}C$  برابر با  $1/1$  درصد وزنی است و در دمای بسیار بالا ( $900^{\circ}C$  درجه سانتی گراد) فقط  $0/2$  درصد وزنی آب دارد (شکل ۹). کردیریت در دمای کمتر از  $750^{\circ}C$  درجه سانتی گراد به



شکل ۹ نمودار تعیین مقدار آب موجود در مذاب و مقدار آب موجود در کردیریت‌ها با استفاده از مدل ارائه شده در مراجع [۳۶، ۲۹].



شکل ۱۰ نمودار تعیین مقدار آب مذاب‌های همزیست با نمونه‌های کردیریت‌دار با استفاده از روش مرجع [۳۷].

گرفته‌اند که بیانگر حالت بدون سیال آزاد است. این موضوع واکنش‌های ذوب بدون سیال آزاد و مقدار  $D_w$  محاسبه شده در میگماتیت‌های بروجرد را تأیید می‌کند.

#### مراجع

- [1] Vernon R. H., "A Practical Guide to rock Microstructure", Cambridge University Press (2004).
- [2] Vernon R. H., Clark G. I., "Principles of metamorphic Petrology", Cambridge University Press (2008).
- [3] Harley S. L., Thompson P., Hensen B. J., Buick I. S., "Cordierite as a sensor of fluid conditions in high-grade metamorphism and crustal anatexis", Journal of Metamorphic Geology 20 (2002) 71-86.
- [4] Kalt A., "Cordierite channel volatiles as evidence for dehydration melting: an example from high-temperature metapelites of the Bayerische Wald (Variscan belt, German)", European Journal of Mineralogy 12 (2000) 987-998.
- [5] Kolesov B. A., Geiger C. A., "Cordierite II: The role of  $CO_2$  and  $H_2O$ ", American Mineralogist 85 (2000) 1265-1274.
- [6] Moazzen M., Droop G. T. R., Harte B., "Abrupt transition in  $H_2O$  activity in the melt-present zone of a thermal aureole: evidence from  $H_2O$  contents of cordierites", Geology 29 (2001) 311-314.
- [7] Rigby M. J., "Cordierite as a Monitor of Volatile Content during Metamorphism and

#### برداشت

نفوذ مجموعه گرانیتوئیدی بروجرد در زمان ژوراسیک در سنگ‌های رسی دگرگون شده سبب ایجاد هورنفلس‌های رسی و میگماتیت‌های پاره گدازشی در هاله همبری شده است. واکنش‌های ذوب در حضور فاز سیال احتمالاً با شروع ذوب همه سیال آزاد در هاله را مصرف کرده و در نتیجه ادامه ذوب بخشی توسط واکنش‌های ذوب بدون حضور فاز سیال آزاد انجام شده است. به احتمال زیاد مجموعه کانی‌های درجه‌های بالا مانند اسپینل-کروندم در هاله از طریق واکنش‌های آبزدایی بیوتیت تشکیل شده‌اند. بنابراین وجود کانی‌های اسپینل و کروندم در این سنگ‌ها با فرآیندهای ذوب بخشی بدون سیال آزاد ارتباط دارد. بر اساس دما و فشار محاسبه شده برای میگماتیت‌های بروجرد که به ترتیب ۷۵۰ درجه سانتی گراد و ۴ کیلوبار است، فعالیت  $H_2O$  در کردیریت ملانوسوم میگماتیت‌ها ۰/۶ و فعالیت  $CO_2$  در این کانی برابر با ۰/۱۵ است. مقدار آب در مذاب میگماتیت‌های بروجرد ۳/۷۵ درصد وزنی و مقدار فعالیت آب تقریباً برابر با ۰/۳۱ است. مقدار  $H_2O$  در کردیریت موجود در ملانوسوم میگماتیت‌ها ۱/۱ درصد وزنی است که با توجه به این مقادیر،  $D_w$  مربوط به واکنش‌های ذوب در دمای ۷۵۰ درجه سانتی گراد برای میگماتیت‌های بروجرد ۳/۴۱ درصد وزنی است که متناسب با واکنش‌های ذوب آبزدایی بیوتیت است. مقدار  $H_2O$  نمونه‌های ذوب بر خط کمترین آب قرار

- Boroujerd area (in Persian)*”, Journal of Geotechnical Geology 2 (2010) 71-81.
- [19] Clemens J. D., Wall V. J., “*Crystallisation and origin of some peraluminous (S-type) granitic magmas*”, Contributions to Mineralogy and Petrology 14 (1981) 111-132.
- [20] Clemens J. D. and Vielzeuf D., “*Constraints on melting and magma production in the crust*”, Earth and Planetary Science Letters, 86 (1987) 287-306.
- [21] Patiño Douce A. E., Johnstone A. D., “*Phase equilibria and melt productivity in the pelitic system: implications for the origin of peraluminous granitoids and aluminous granites*”, Contributions to Mineralogy and Petrology 107 (1991) 202-218.
- [22] Stevens G., Clemens J. D., Droop G. T. R., “*Melt production during granulite-facies anatexis: experimental data from “primitive” metasedimentary protoliths*”, Contributions to Mineralogy and Petrology 28 (1997) 352-370.
- [23] Vielzeuf D., Holloway, J. R., “*Experimental determination of the fluid-absent melting reactions in the elitic system: consequences for crustal differentiation*”, Contributions to Mineralogy and Petrology 98 (1988) 257-276.
- [24] Kretz R., “*Symbols for rock-forming minerals*”, American Mineralogy 68 (1983) 277-279.
- [25] Yardley B.W.D., “*An introduction to Metamorphic Petrology*”, Longman (1991) 248p.
- [26] Deer W. A., Howie R. A., Zussman J., “*Rock-forming minerals*”, 3rd vol., Longman, London (1962).
- [27] Coleman R. G., Lee D. E., Beatty L. B., Brannock W. W., “*Eclogites and eclogites: their differences and similarities*”, Geological Society America Bulletin 76(5) (1965) 483-508.
- [28] Holland T. J. B., Powell R., “*An internally consistent thermodynamic data set for phases of petrological interest*”, Journal of Metamorphic Geology 16 (1998) 309-344.
- [29] Harley S. L., Carrington D. P., “*The distribution of H<sub>2</sub>O between cordierite and granitic melt: Improved calibration of H<sub>2</sub>O incorporation in cordierite and its application to high-grade metamorphism and crustal anatexis*”, Journal of Petrology 42 (2001) 1595-1620.
- [30] Thompson P., Harley S. L., Carrington D. P., “*H<sub>2</sub>O-CO<sub>2</sub> partitioning between fluid, cordierite and granitic melt at 5 kbar and 900 °C*”, *Partial Melting*”, PhD Thesis, University of Manchester, Manchester.
- [8] Rigby M. J., DROOP G. T. R., Bromiley G. D., “*Variations in fluid activity across the Etive thermal aureole, Scotland: evidence from cordierite volatile contents*”, Journal of metamorphic Geology 26 (2008) 331-346.
- [9] Berthier F., Billiau H.P., Halbrorom B., Marizot P., “*Tude Stratigraphique, Petrologique et structural de La region de Khorramabad (Zagros, Iran)*”, These De 3e Cycle, Grenoble, France (1974) pp. 282.
- [10] Masoudi F., “*Contact metamorphism and pegmatite development in the region SW of Arak, Iran*”, PhD thesis, Leeds University, UK (1997).
- [11] Heydarianmanesh A., Tahmasebi Z., Ahmadi-Khalaji A., “*Mineral chemistry and thermobarometry of migmatitic rocks of Boroujerd area (north of Sanandaj-Sirjan zone) (in Persian)*”, Petrology 25 (2016) 117-138.
- [12] Tahmasbi Z., “*The role of garnet in interpretation of petrogeneses granitoid Boroujerd complex and its metamorphic areoule (in Persian)*”, Irainan Journal of crystallography and mineralogy 21 (2013) 57-70.
- [13] Mohajjal M., “*Structure and tectonic evolution of Paleozoic-Mesozoic rocks, Sanandaj-Sirjan zone, Western Iran*”, Ph.D. Thesis, University of Wollongong, Australia (1997).
- [14] Mohajjal M., Fergusson C.L., Sahandi M.R., “*Cretaceous-Tertiary convergence and continental collision, Sanandaj-Sirjan zone, Western Iran*”, Journal of Asian Earth Sciences 21 (2003) 379-412.
- [15] Stoklin J., “*Structural histiry and tectonics of Iran, A review*”, American Association Petroleum Geologists 52 (1968) 1229-1258.
- [16] Ahmadi-Khalaji A., Esmaeil D., Valizadeh M. V., Rahimpour-Bonab H., “*Petrology and Geochemistry of the Granitoid Complex of Boroujerd, Sansandaj-Sirjan Zone, Western Iran*”, Journal of Asian Earth Sciences, 29 (2007) 859-877
- [17] Masoudi F., Yardley B.W.D., Cliff R.A., “*Rb-Sr geochronology of pematites, plutonic rocks and a hornfels in the region southwest of Arak, Iran*”, Journal of Sciences 13 (2002) 249-254.
- [18] Ahmadi-Khalaji A., Tahmasbi Z., Keshtgar Sh., “*A new view on the metamorphic rocks of the*

- metapelites: an experimental petrogenetic grid in the KFMASH system”, Contributions to Mineralogy and Petrology 120 (1995) 270-291.*
- [35] Vry J. K., Brown P. E., Valley J. W., “*Cordierite volatile content and the role of CO<sub>2</sub> in high-grade metamorphism”, American Mineralogist 75 (1990) 71-88.*
- [36] Johannes W., Holtz F., “*Petrogenesis and Experimental Petrology of Granitic Rocks*”, Berlin: Springer Verlag (1996).
- [37] Rigby M. J., Droop G. T. R., Bromiley G. D., “*Variations in fluid activity across the active thermal aureole, Scotland: evidence from cordierite volatile contents*”, Journal of Metamorphic Geology 26 (2008) 331-346.
- Contributions to Mineralogy and Petrology 150 (2001) 170-190.
- [31] Harley S., “*Cordierite as a sensor of fluid and melt distribution in crustal metamorphism*”, Mineralogical Magazine 58a (1994) 374-375.
- [32] Stevens G., Clemens J. D., “*Fluid-absent melting and the roles of fluids in the lithosphere: a slanted summary?*”, Chemical Geology 108 (1993) 1-17.
- [33] Carrington D. P., Harley S. L., “*Cordierite as a monitor of fluid and melt water contents in the lower crust: an experimental calibration*”, Geology 24 (1996) 647- 650.
- [34] Carrington D. P., Harley S. L., “*Partial melting and phase relations in high-grade*